

## 開水路の縦分散に及ぼす沈降と貯留の影響について

京都大学防災研究所

同

日本水道コンサルタント

正員

村本嘉雄

正員

道上正規

正員

○中川芳一

1. まえがき 従来、河道内での縦分散は *Stick*型の拡散方程式で表わされてきており、その方程式では、濃度時間曲線(以下 *C-t curve* と記す)は *Gauss* 分布になる。ところが、実際河川で観測された *C-t curve* は、立ち上り部分が急になり、そしてに長く尾を引くといった歪んだ分布を呈する。この現象を *Tailing* 現象と呼ぶ。この原因としては、死水域にいたる浮遊物が捕捉され、時間的遅れをもつて主流域に出でることによる機構、及び、沈降速度の大きい浮遊物では、浮遊物が河床にいたる堆積し、時間的遅れをもつて流れの中へ躍び出でてくるといった機構が考えられる。本研究では、死水域や沈降の分散に及ぼす影響の model 化を試み、単純化された条件下での実験を行い、model の適合性を検討した。

## 2. 理論的考察 質量保存を表わす連続式

$$\frac{\partial C}{\partial t} + \frac{\partial (UC)}{\partial x} = \frac{\partial}{\partial x} (\epsilon_x \frac{\partial C}{\partial x}) + \frac{\partial}{\partial y} (\epsilon_y \frac{\partial C}{\partial y}) + \frac{\partial}{\partial z} (\epsilon_z \frac{\partial C}{\partial z}) \quad (1)$$

(C: 時間平均濃度, U: X 方向流速,  $\epsilon_x, \epsilon_y, \epsilon_z$ : 乱流混合係数)

$$x, y=0, z=0 \quad \epsilon_y \frac{\partial C}{\partial y} = 0 \quad (R: 水深) \quad (2)$$

$$z = \pm \frac{B_a}{2} \quad \epsilon_z \frac{\partial C}{\partial z} = \mp \frac{R}{2} (\bar{C}_a - \bar{C}_d) \quad (3)$$

(B<sub>a</sub>: 主流域の幅,  $\bar{C}_a, \bar{C}_d$ : 主流域・死水域の断面平均濃度)

なる境界条件を用いて断面内で積分すると、主流域 K &gt; 1 にて

$$\frac{\partial \bar{C}_a}{\partial t} + \frac{\partial}{\partial x} (\bar{U}_a \bar{C}_a) + \frac{R \bar{R}}{A_a} (\bar{C}_a - \bar{C}_d) = D_x^a \frac{\partial^2 \bar{C}_a}{\partial x^2} \quad (4)$$

が得られる、死水域 K &lt; 1 にて同様に

$$\frac{\partial \bar{C}_d}{\partial t} + \frac{R \bar{R}}{A_d} (\bar{C}_d - \bar{C}_a) = 0 \quad (5)$$

(U<sub>a</sub>,  $\bar{U}_a$ : 主流域・死水域の断面平均流速, A<sub>a</sub>, A<sub>d</sub>:主流域・死水域の断面積, D<sub>x</sub><sup>a</sup>, D<sub>x</sub><sup>d</sup>: 分散係数)が得られる。(5)式においては、 $\bar{U}_d = 0$ 、 $D_x^d \frac{\partial^2 \bar{C}_d}{\partial x^2} = 0$  を仮定している。更に、

$$R = K U_* \quad (U_*: 摩擦速度) \quad (6)$$

なる式を仮定し、(4)(5)式を無次元化し

数値計算を行なう。また、沈降性粒子にいたる場合は、質量保存を表わす連続式

$$\frac{\partial C}{\partial t} + \frac{\partial (UC)}{\partial x} = \frac{\partial}{\partial x} (\epsilon_x \frac{\partial C}{\partial x}) + \frac{\partial}{\partial y} (\epsilon_y \frac{\partial C}{\partial y}) + w_0 \frac{\partial C}{\partial y} \quad (w_0: 沈降速度) \quad (7)$$

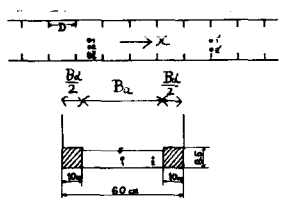


図1 実験水路

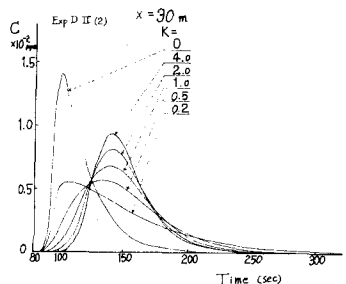


図2 K による C-t curve の変化

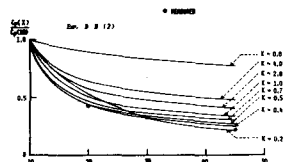


図3 peak 低減の K による変化

Exp. No.	discharge Q (liter/sec)	R cm	U*	U <sub>a</sub>	D <sub>x</sub> <sup>a</sup>	D <sub>x</sub> <sup>d</sup>	B <sub>a</sub> cm	B <sub>d</sub> cm	mesh △x / Δt
D I (1)	8	4.57	2.15	31.37	96.203	30	40	20	5 / 0.1
D I (2)	13	7.29	3.13	32.05	159.746	30	40	20	8 / 0.1
D II (1)	8	4.73	2.71	30.54	96.203	40	40	20	6 / 0.1
D II (2)	13	7.94	3.63	29.36	159.746	40	40	20	10 / 0.2
D III (1)	8	4.58	2.65	31.53	96.203	50	40	20	6 / 0.1
D III (2)	13	8.01	3.35	29.09	159.746	50	40	20	10 / 0.2

表1 数値計算における諸定数, mesh の大きさ

$$x, \quad y = h(x) \quad \Sigma y \frac{\partial C}{\partial y} + w_0 C = 0, \quad y = 0 \quad \Sigma y \frac{\partial C}{\partial y} + w_0 C = \gamma w_0 \bar{C} - \Lambda \bar{C} \quad (8)$$

( $\bar{C}$ ; 断面平均濃度,  $\Lambda$ ; 単位面積当りの粒子の堆積量,  $\Lambda$ ; 河床から単位時間に運び出す割合)

$$\text{なる境界条件を用いて積分すると, } \frac{\partial C}{\partial x} + \frac{\partial}{\partial x}(\bar{C}C) = D_x \frac{\partial^2 C}{\partial x^2} - \frac{1}{w_0}(\gamma w_0 \bar{C} - \Lambda \bar{C}) \quad (9)$$

が得られ, 河床面(閑)では,  $\frac{\partial C}{\partial x} = \gamma w_0 \bar{C} - \Lambda \bar{C} \quad (10)$  が得られる。

3. 実験 図1に示すように, 水路の両側に水制を一定間隔 $D$ で並べることによつて死水域を発生させ, 塩水を用いて分散実験を行ひ, 流下距離 $X=10, 20, 30, 45m$ の4断面で濃度を測定した。また, 沈降性粒子及び塩水を用いて水制をあかなくして分散実験を行なつた。

#### 4. 計算結果と実験結果との比較検討 死水域の存在

しない場合,  $C-t$  curveはほぼGauss分布を呈し, その分散 $\sigma_E^2$ は $x$ 方向に直線的に増加するのに対し, 死水域の存在する場合は, 図4に示すように tailing現象を呈し,  $\sigma_E^2$ は加速度的に増加し, 死水域の存在しない場合よりもはるかに大きな値となる。 $X=10m$ での実測値を初期条件として, 表1に示す諸定数を用いて(4)(5)式を数值計算した。なお, これは, 死水域の存在しない場合の分散実験より求めた値である。図2, 3から明らかなるように, 濃度peakの到達時間は,  $K$ が増加するに従つて長くなら, peak濃度低減特性は,  $x$ の値を固定して考えると,  $K$ が0から増し行くに従つて始めのうちには低減量が増加していくがある $K$ の値で低減の極値があり, 更に $K$ が大きくなると逆に低減量が減少していく。また, 低減量が極大となる $K$ の値は, 流下距離が長くなるに従つて小さくなる傾向がある。 $K$ の値をいかに採つたら実測の $C-t$  curveと最もよく適合するかを検討してみたところ, 本実験の場合,  $K=0.3 \sim 0.5$ としたらよりことが解り, 上記のmodelの妥当性が証明されよう。図4にExp D II(2)の場合の $C-t$  curveの計算値と実測値を示す。

沈降性粒子に関するこは, (9)(10)式を無次元化し,  $\Lambda$ をパラメータとして数値計算を行なつたが, 本実験の場合,  $\Lambda$ の変化によつて $C-t$  curveの顕著な変化がなく, 実測との対応から $\Lambda$ を決定するに至らなかつた。しかし, 図5に示すように, peak濃度の低減は,  $\Lambda$ を固定した場合,  $\Lambda$ が増すにつれて減少し,  $\Lambda$ を固定すると,  $\Lambda$ が増すにつれて增加する傾向があることが解つた。なお, 図5に示したExp P II(2)の実験条件, 水理量は,  $w_0 = 0.0219 (\text{cm/sec})$ ,  $Q = 13 (\text{l/sec})$ ,  $h = 3.94 (\text{cm})$ ,  $\bar{U} = 55.4 (\text{cm/sec})$ ,  $U_* = 2.574 (\text{cm/sec})$ である。

〔参考文献〕 Hays "Mass Transport Mechanics in Open Channel Flow."

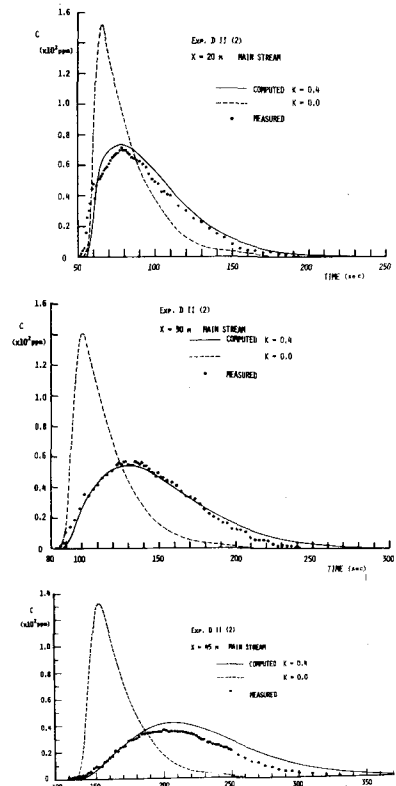


図4  $C-t$  curveの計算値と実測値

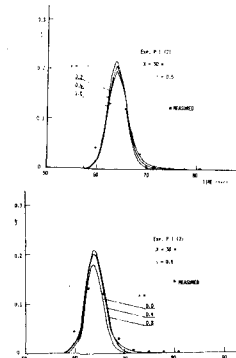


図5  $t$ -curveの $\Lambda$ による変化